



**SEM0530 - Problemas de Engenharia Mecatrônica II**

## **Tarefa 5 - Aproximação numérica de EDOs de 2<sup>a</sup> ordem**

ANDRÉ ZANARDI CREPPE - 11802972

Professor:

MARCELO AREIAS TRINDADE

**Julho de 2021**

# Conteúdo

<b>1</b>	<b>Objetivos</b>	<b>3</b>
<b>2</b>	<b>Equacionando o problema</b>	<b>4</b>
<b>3</b>	<b>Resolução numérica e computacional</b>	<b>7</b>
3.1	Códigos Fonte . . . . .	10
<b>4</b>	<b>Conclusões</b>	<b>12</b>

# 1 Objetivos

Nesse trabalho, o nosso objetivo principal será determinar a **evolução do deslocamento angular** ( $\theta(t)$ ) de um pêndulo simples (Figura 1) dado um intervalo de tempo e algumas condições iniciais.

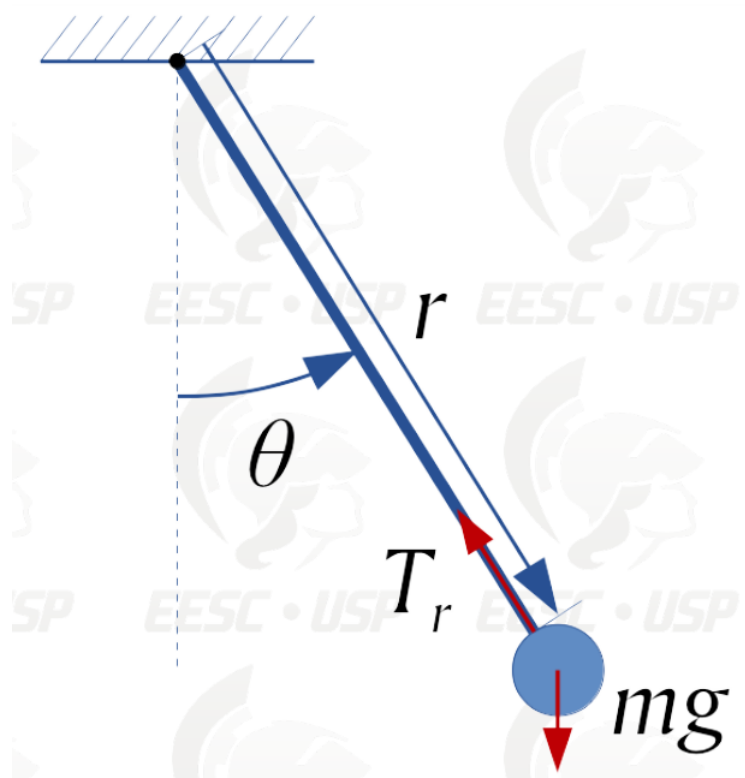


Figura 1: Representação do Pêndulo Simples a ser estudado.

Esse deslocamento  $\theta(t)$  será encontrado utilizando um algoritmo de **integração numérica**, o qual permitirá construir gráficos de interesse para a analisar a evolução do problema com o passar do tempo.

Ademais, deseja-se utilizar tais informações numérica para determinar algumas características do movimento do sistema, como: **quantidade de voltas** completas pelo pêndulo antes de parar; evolução da **tração** no cabo; **frequência** de oscilação.

## 2 Equacionando o problema

Para começar a equacionar o problema, é necessário montar, primeiramente, um *diagrama de corpo livre* para a Figura 1 explicitando todas as forças e coordenadas que iremos utilizar.

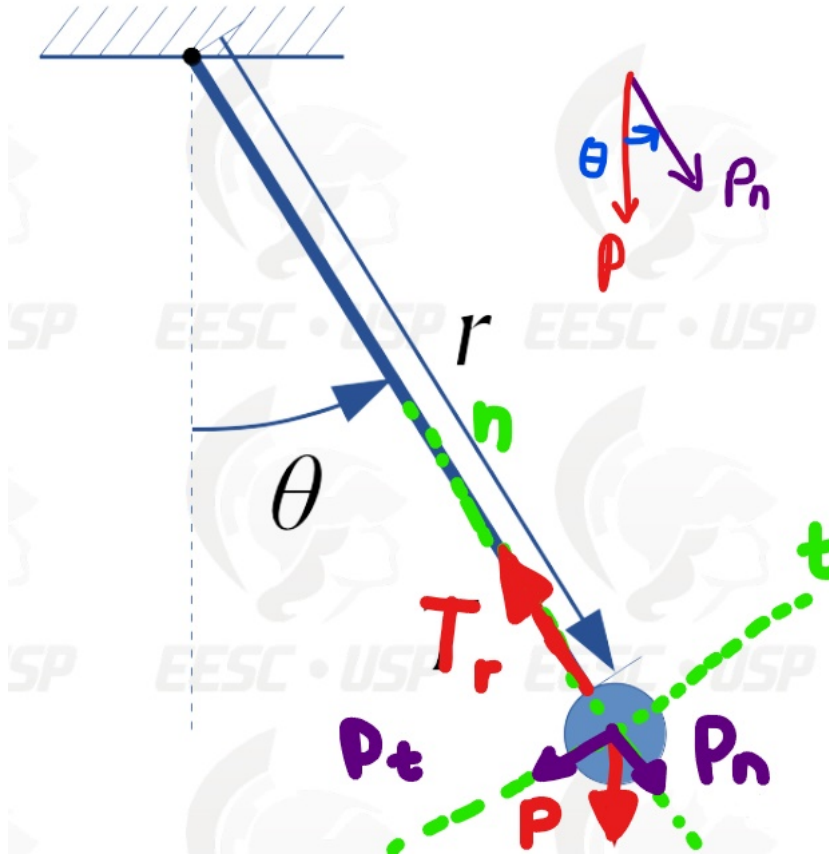


Figura 2: Diagrama de Corpo Livre do Pêndulo Simples.

A partir da Figura 2 acima, podemos ver que a força peso é decomposta na direções normal e tangencial e varia de acordo com o ângulo  $\theta$  em que o pêndulo se encontra:

$$P_n = m \cdot g \cdot \cos(\theta)$$

$$P_t = m \cdot g \cdot \sin(\theta)$$

Além dessas forças, sabemos que existe um momento ( $M$ ) em relação ao pino do pêndulo que vai resistir ao movimento da massa. Isso quer dizer que o sistema é um pendulo amortecido, indicando que a energia cinética será dissipada com o tempo. Tal momento é o resultado a aplicação de uma uma força  $F_m$  aplicada na massa, o que na hora de equacionar se traduz a:

$$M = F_m \cdot r \rightarrow F_m = \frac{M}{r}$$

Aplicando essas forças nas as equações do equilíbrio cinemático, podemos tirar que:

$$\Sigma F_n = T - P_n = 0 \quad (1)$$

$$\Sigma F_t = -P_t - F_m = m \cdot a_t \quad (2)$$

Ou seja, de todas as variáveis acima apenas não obtivemos do enunciado a aceleração linear tangencial ( $a_t$ ). Podemos facilmente contornar esse problema ao deixá-la em função de ( $\theta$ ), visto que a massa do pêndulo percorre uma trajetória  $D$  em arco:

$$D = \theta \cdot r \rightarrow \dot{D} = \dot{\theta} \cdot r \rightarrow \ddot{D} = \ddot{\theta} \cdot r$$

$$\therefore \ddot{D} = \ddot{\theta} \cdot r = a_t$$

Com as equações bases já descritas, podemos utilizar a expressão da direção tangencial (Equação 2) para substituir os valores e encontrar a nossa equação geral para o movimento:

$$-P_t - F_m = m \cdot a_t$$

$$-[m \cdot g \cdot \text{sen}(\theta)] - \left(\frac{M}{r}\right) = m \cdot (\ddot{\theta} \cdot r)$$

$$-[m \cdot g \cdot \text{sen}(\theta)] - \left(\frac{c \cdot r^2 \cdot \dot{\theta}}{r}\right) = m \cdot \ddot{\theta} \cdot r$$

$$-\frac{m \cdot g \cdot \text{sen}(\theta)}{m \cdot r} - \frac{c \cdot r^2 \cdot \dot{\theta}}{m \cdot r^2} = \ddot{\theta}$$

$$-\frac{g \cdot \text{sen}(\theta)}{r} - \frac{c \cdot \dot{\theta}}{m} = \ddot{\theta}$$

$$\therefore \ddot{\theta} + \frac{c}{m} \cdot \dot{\theta} + \frac{g}{r} \cdot \text{sen}(\theta) = 0 \quad (3)$$

A Equação 3 pode ser definida como uma EDO de 2ª ordem e será a partir dela que conseguiremos fazer a análise computacional para solucionar o problema em questão.

Para tirar a quantidade de voltas ( $n_v$ ) que a massa irá dar, podemos utilizar a assíntota do deslocamento angular ( $\theta$ ) - deslocamento máximo - dividido pelo comprimento total da trajetória  $D$  - uma circunferência:

$$n_v = \frac{\theta_{max}}{2\pi} \quad (4)$$

Outra característica do movimento que queremos estudar é o comportamento da Tração ( $T$ ) ao longo do tempo. Utilizando a Equação 1 agora, facilmente tiramos tiramos que:

$$T = P_n$$

$$\therefore \mathbf{T}(\theta) = \mathbf{m} \cdot \mathbf{g} \cdot \cos(\theta) \quad (5)$$

E por último, para encontrar a frequência do pêndulo, podemos utilizar uma fórmula já conhecida, deduzida nas aulas da disciplina de Física II, a qual seria:

$$f(\theta) = \frac{\dot{\theta}}{2\pi} \quad (6)$$

Com todas essas equações em mãos, podemos partir para resolver o problema de forma computacional e assim obter os resultados numéricos desejados.

### 3 Resolução numérica e computacional

Considerando que a Equação 3 é uma EDO de ordem 2, para utilizar o solucionador numérico *ode45* do *Octave* será necessário reescreve-la. Para isso, o primeiro passo será deixar em evidência as derivações

$$\frac{d^2\theta}{dt^2} + \frac{c}{m} \cdot \frac{d\theta}{dt} + \frac{g}{r} \cdot \text{sen}(\theta) = 0$$
$$\frac{d}{dt} \left( \frac{d\theta}{dt} \right) + \frac{c}{m} \cdot \frac{d\theta}{dt} + \frac{g}{r} \cdot \text{sen}(\theta) = 0$$

para aí transformá-la em um sistema de equações diferenciais:

$$\begin{cases} \frac{d\theta}{dt} = \omega \\ \frac{d^2\theta}{dt^2} = -\frac{c}{m} \cdot \frac{d\theta}{dt} - \frac{g}{r} \cdot \text{sen}(\theta) \end{cases}$$

Dessa forma, conseguimos aplicar a operação de integração numérica o obter um vetor contendo valores de tempo, os quais correspondem com uma matriz a contendo outros dois vetores, com um deles representando o deslocamento angular ( $\theta$ ) e o outro a velocidade angular ( $\dot{\theta}$ ). Para visualizar o resultado foi possível elaborar um gráfico (Figura 3) mostrando a variação dessas duas propriedades de acordo com o tempo.

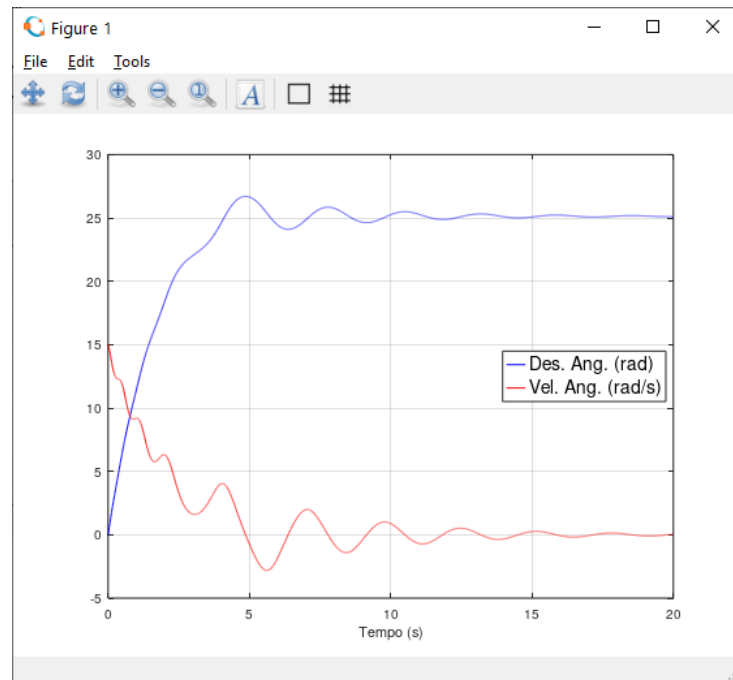


Figura 3: Variação de  $\theta$  e  $\dot{\theta}$  pelo tempo.

Como podemos esperar, devido a característica amortecida do movimento, a velocidade angular (em vermelho) diminui com o passar do tempo, implicando que a massa vai conseguir completar algumas voltas até que não tenha mais energia para girar completamente, o que iniciaria um movimento pendular até o pêndulo se estabilizar. Isso implica que o deslocamento angular (em azul) vai aumentar e depois se estabilizar também.

Uma outra forma de visualizar essa estabilização é com o gráfico de  $\theta \times \dot{\theta}$  (Figura 4). Podemos ver com ele uma representação muito bonita do desenvolvimento do movimento, com o ponto de convergência da espiral sendo o estado estável após a energia cinética do problema zerar ( $\theta = 0$  da Figura 1).

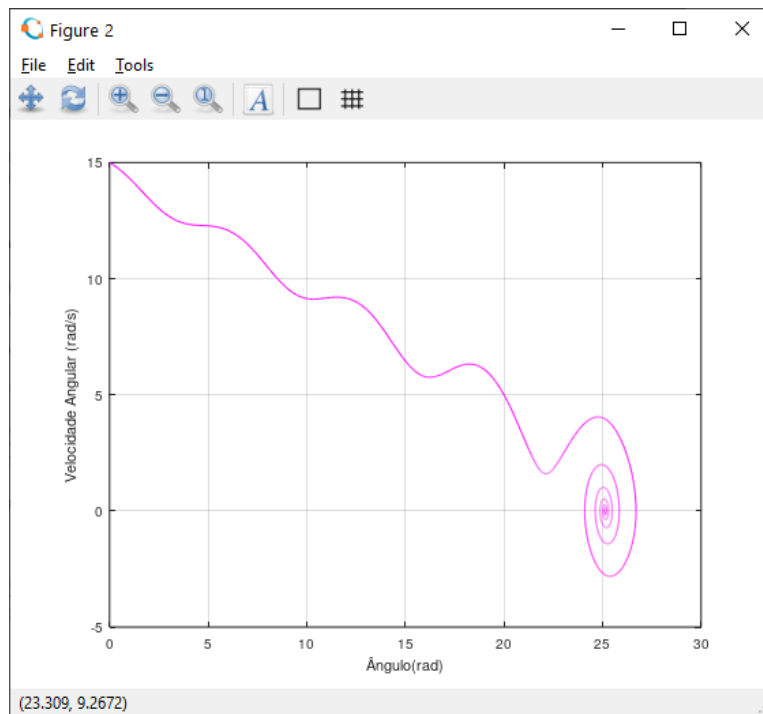


Figura 4: Variação de  $\dot{\theta}$  por  $\theta$ .

No caso estudado, graficamente podemos notar que o movimento pendular começa quando  $t \approx 5s$ , visto que é a partir daí que a velocidade angular fica negativa e o deslocamento oscila. Além disso, utilizando a Equação 4 no *Octave* obtivemos que o total de voltas completas dadas foi

$$n_v = 3.994847 \rightarrow n_v \approx 4$$

Prosseguindo no estudo, foi aplicado os resultados do vetor de  $\theta$  na Equação 5 para obter a variação da tração pelo deslocamento angular, que por implicação é também a variação da tração pelo tempo. Com essa correção foi possível elaborar a Figura 5 abaixo.



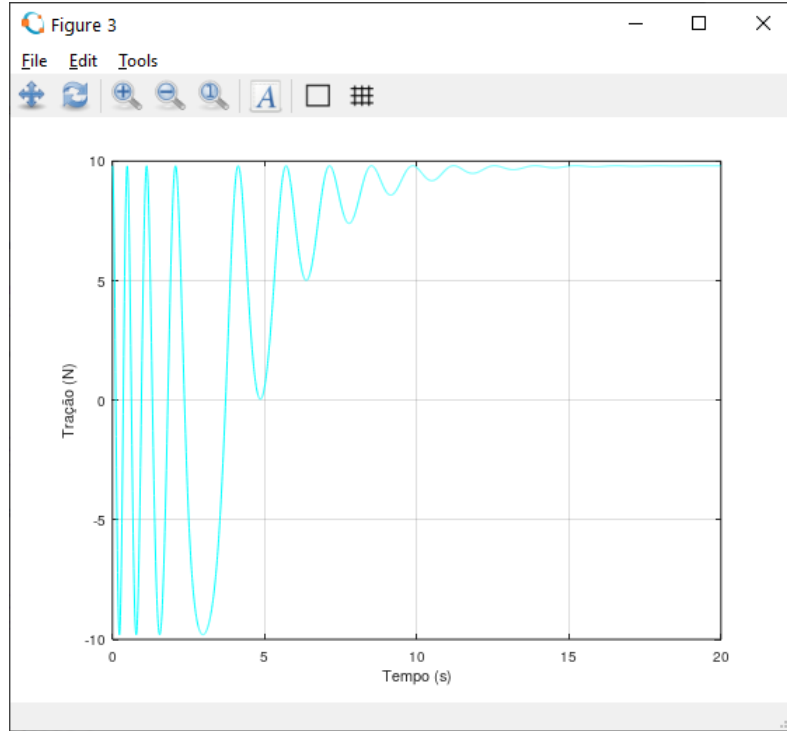


Figura 5: Variação da Tração ( $T$ ) pelo tempo ( $t$ ).

Podemos ver que no começo do movimento, devido a alta velocidade, o ângulo  $\theta$  da corda em relação ao eixo vertical variava muito, o que consequentemente mudava a todo instante a componente normal do peso e assim a tensão que tal corda sofria nas diferentes posições do pêndulo. Com a subsequente perda de energia, a massa eventualmente se estabilizará na posição vertical para baixo, a qual representa o maior valor do peso (quando  $\cos(\theta) = 1$ ):

$$(\mathbf{P}_n)_\infty = \mathbf{9.807\ N}$$

Por fim, a frequência, dada pela Equação 6, varia no tempo pela mesma lógica aplicada no estudo da Tração. Ela também possui um comportamento previsível, uma vez que o termo  $\dot{\theta}$  aparece no numerador da sua equação e o mesmo tende a 0 com o passar do tempo (movimento amortecido). Tal raciocínio pode ser confirmado pela assíntota formada na Figura 6, valendo:

$$\mathbf{f}_\infty = \mathbf{0}$$

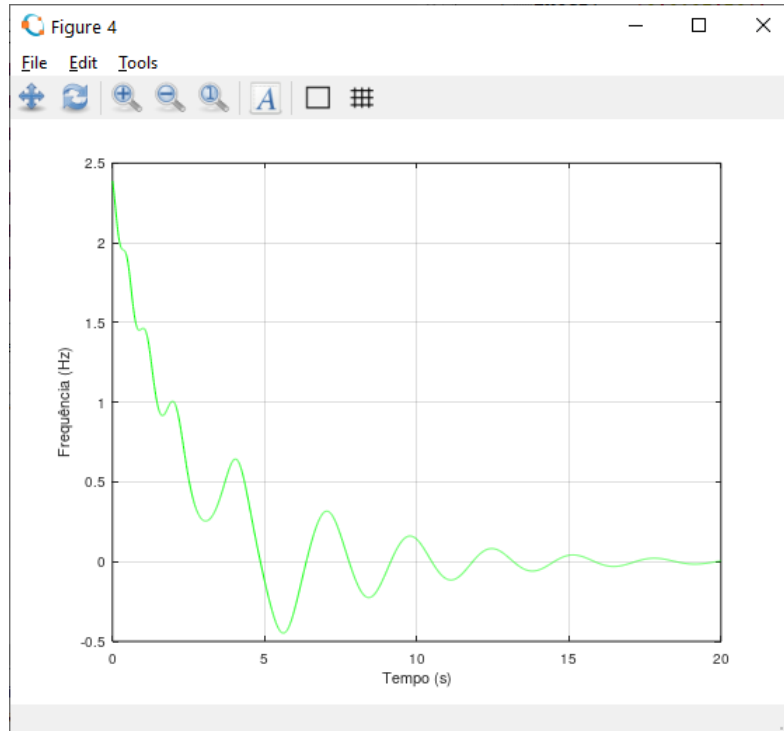


Figura 6: Variação da Frequência ( $f$ ) pelo tempo ( $t$ ).

Assim, terminamos a análise dos pontos de interesse desse problema.

### 3.1 Códigos Fonte

Para conseguirmos fazer as avaliações e manipulações numéricas anteriores, as equações obtidas no equacionamento foram reunidas em *scripts* que foram executados dentro do ambiente *Octave*. Tais códigos podem ser encontrados nos Listings 1 e 2 abaixo:

```

1 # tarefa5.m
2 clear all
3 close all
4
5 % Problema
6
7 interv = [0:0.01:20];
8 theta0 = [
9     0; % th0
10    15 % (dth/dt)0
11 ];
12
13 [t, theta] = ode45(@pendulum, interv, theta0);
14 % theta(:, 1) = deslocamento angular theta
15 % theta(:, 2) = velocidade angular dth/dt
16
17 T = 1 .* 9.807 .* cos(theta(:, 1));
18
19 f = theta(:, 2) ./ (2 .* pi);
20

```

```

21 % Respostas Numericas
22
23 turns = theta(end, 1) ./ (2 .* pi);
24 fprintf('Total de voltas dadas: %f\n', turns);
25
26 % Graficos
27
28 figure
29 plot(t, theta(:, 1), '-b', t, theta(:, 2), '-r'); grid;
30 lel = legend({'Des. Ang. (rad)', 'Vel. Ang. (rad/s)'}, 'location', '
    east');
31 set(lel, 'fontsize', 14);
32 xlabel('Tempo (s)');
33
34 figure
35 plot(theta(:, 1), theta(:, 2), '-m'); grid;
36 xlabel('Angulo(rad)');
37 ylabel('Velocidade Angular (rad/s)');
38
39 figure
40 plot(t, T, '-c'); grid;
41 xlabel('Tempo (s)');
42 ylabel('Tracao (N)');
43
44 figure
45 plot(t, f, '-g'); grid;
46 xlabel('Tempo (s)');
47 ylabel('Frequencia (Hz)');

```

Listing 1: Script utilizado para a resolução do problema.

```

1 # pendulum.m
2 function d2thetadt2 = pendulum(t, theta)
3     % Dados do Enunciado
4     m = 1;
5     c = 0.5;
6     r = 1.75;
7     g = 9.807;
8
9     % EDO
10    d2thetadt2 = [
11        theta(2);
12        (-c ./ m) .* theta(2) + (-g ./ r) .* sin(theta(1));
13    ];
14 end

```

Listing 2: Representação computacional na forma de função da EDO do problema.

## 4 Conclusões

Após toda a análise feita nessa tarefa, vimos que é possível trabalhar na resolução de um problema envolvendo equações diferenciais de segunda ordem, como a que representa um movimento pendular amortecido

$$\ddot{\theta} + \frac{\mathbf{c}}{\mathbf{m}} \cdot \dot{\theta} + \frac{\mathbf{g}}{\mathbf{r}} \cdot \text{sen}(\theta) = 0$$

utilizando apenas ferramentas computacionais de aproximação numérica. Tais algoritmos fornecem dados que, ao serem dispostos em gráficos, tornam-se úteis para analisar o problema, como visto nas Figuras 3 a 6 anteriormente.

Além disso, foi possível utilizar esse conjunto de dados para obter informações de interesse para o sistema, como a quantidade de voltas que o pêndulo deu

$$\mathbf{n}_v \approx 4$$

e o tempo de início do movimento pendular

$$\mathbf{t}_p \approx 5 \text{ s}$$

Do ponto de vista educacional, aprender a aplicar técnicas computacionais facilita muito o estudo e resolução de equações trabalhosas, como a Equação 3, e auxilia a análise de engenharia para problemas do mundo real.